中国部分清洁地区大气中 N₂O 的浓度^{*}

王木林 程红兵 李兴生 温玉璞

(中国气象科学研究院,北京,100081)

摘 要

1993年4月—1995年8月对中国部分清洁地区大气的 N_{2O} 浓度进行了现场观测, 结果表明: 农田(玉米田和麦田) 大气的 N_{2O} 平均浓度高达322. 1—343. 4ppbv, 这是土壤排放 N_{2O} 的结果; 临安、龙风山和瓦里关山大气本底观测站(WMO/GAW) N_{2O} 的平均浓度分别为318. 8±8. 4ppbv, 317. 4±4. 7ppbv 和314. 0±4. 2ppbv。在此基础上, 分析了大气 N_{2O} 的分布及变化特征。另外,还对现场取样及 N_{2O} 浓度测量技术作了初步分析和评价。

关键词: 氧化亚氮(N2O),本底浓度,气相色谱法。

1 引言

氧化亚氮(N2O) 作为一种大气中微量气体是大气氮循环的重要组成部分。大气中N2O 的主要来源有化石燃料及生物质燃烧和发生在土壤中的生物过程。N2O 在对流层大气中非常稳定,其寿命约长达182a(Golombek and Prinn(1986) [1]),当它被传输到平流层后,N2O 会发生光分解和光氧化反应,生成 NOx(即 NO 和 NO2)。因此,N2O 又是平流层 NOx 的主要来源,N2O,NOx 与 CFCx 共同控制着平流层臭氧的浓度与分布(Crutzen (1970) [2];McElroy and McConnoll(1971) [3])。N2O 还是一种温室气体,在增温贡献中约占6%,对全球未来的气候变化可产生潜在的影响(Wang,et al (1976) [4];Dickinson and Ciceronce(1986) [5])。1981年 Weiss 首次报告了全球 N2O 浓度增长的结果,后来被其他的观测 所 证 实(Weiss(1981) [6];Khalil and Rasmussen(1983) [7];Prinn and Cunnold (1990) [8];Branke,et al (1990) [9])。N2O 浓度的平均增长率约为0.7ppbv/a(相当于0.2% a^{-1})。N2O 在大气中的背景浓度,由工业革命(公元1800年)前的285—289ppbv 增长到目前的310ppbv(1991年)。按照目前人们所掌握的 N2O 全球平衡知识,还难以解释 N2O 不断增长的原因,但大多数学者认为人类活动是造成上述问题的主要原因。

作者从1991年后开始研究测定 N_2O 气相色谱法(GC) 并对大气 N_2O 浓度进行观测,以了解中国大气中 N_2O 的背景浓度及其变化。同期中国国内虽然也有对 N_2O 观测结果的报导(姚荣奎,邵可声(1994) $^{[10]}$),但因时间序列短,数据量少,尚无法估算 N_2O 的增长率及趋势。本文仅对部分地区大气 N_2O 的背景特征及日、季变化进行初步研究。

^{*} 初稿时间: 1995年11月7日; 修改稿时间: 1996年1月7日。 资助课题: 国家科技攻关项目 '85-913-01 '及国家重大自然科学基金项目(49392700)。

2 实验

2.1 观测点

观测点选择在远离工业及交通污染的较为清洁地区,有2个农田和3个大气本底监测站。农田观测点在中国农科院试验田(北京近郊,取样点附近是麦田)和中国科学院农业生态试验站(位于河北栾城,取样点周围为玉米田)。3个大气本底监测站是临安(LA)(30°25 N,119 44 E)和龙风山(LFS)(44 44 N,127 36 E)本底站(这是2个区域站,分别位于浙江杭州西南约50km 和黑龙江哈尔滨东南约180km,观测场建在小山顶上,周围多灌木)及瓦里关山(WLGS)大气本底站(36 98 N,100 54 E)(为全球基准站,位于青海西宁西南约100km,海拔3810m,地表植被为高原浅草)。上述3个大气本底站都隶属世界气象组织(WMO)全球大气观测网(GAW)。

2.2 现场取样

取样口高度距地面 $1-10_m$,取样利用 1台薄膜泵,管路为聚四氟乙烯管 (Φ 3 × 0.5 mm)。贮样品的容器有注射器 (玻璃,100 mL),气袋 (铝箔-涤纶复合膜,1L)和不锈钢罐 (4L, 6L)等。每次观测取一对平行样。不锈钢罐取样压力约为 138 k Pa,而注射器与气袋为平压。存放时间注射器一般小于4h,气袋与不锈钢罐为 14d 左右,并注意防止或减少样品在采样和运输中可能发生的污染与变化。

2.3 N₂O 浓度的气相色谱分析

大气中的 N 2O 浓度的测量一般使用带有电子扑获检测器(ECD) 的气相色谱仪(GC) (Thijsse(1978) $^{[11]}$; Weiss(1981) $^{[12]}$; Prinn, et al(1990) $^{[8]}$)。先后用2台带 ECD 的 GC(HP 5880A 和 HP 5890)进行空气样品的 N 2O 分析, 其中1993年前是用5A 分子筛(5A) 填充柱(Φ 3 × 0.5m),柱温(CT) 为220 ,载气为高纯氮(99.999%),流量30mL/min,检测器温度(DT) 为300 ,后改用 Φ 8 × 2.7m, Porapak Q(80/100),不锈钢填充柱(S.S.),CT 为40 ,Ar=5% CH4作载气,流量30mL/min,DT 为330 。分析流程和 N 2O 色谱图分别如图1和2 所示。N 2O 标准气以合成空气为稀释气,用重量法配制,浓度为316ppb ± 1%(mol/mol),贮存在8L 铝合金气瓶中,该标准气用澳大利亚标气标定,偏差小于1%。

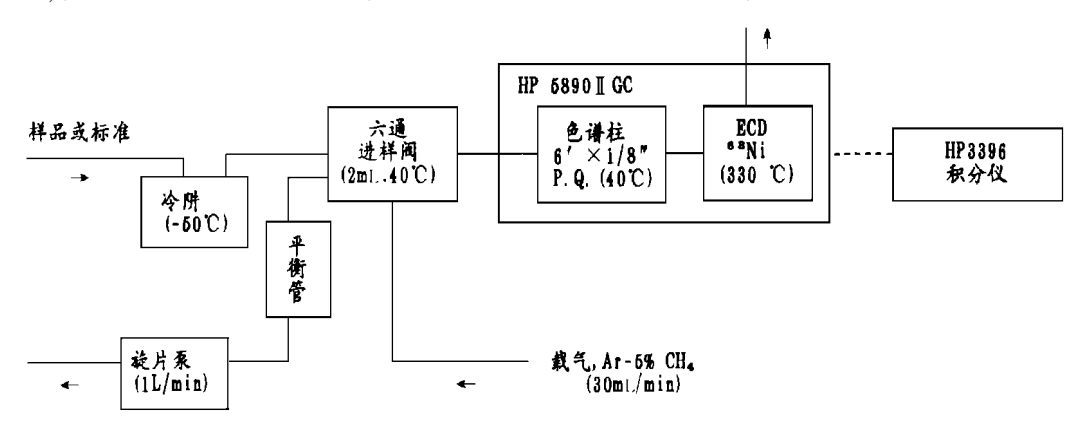


图1 GC-ECD 分析流程图

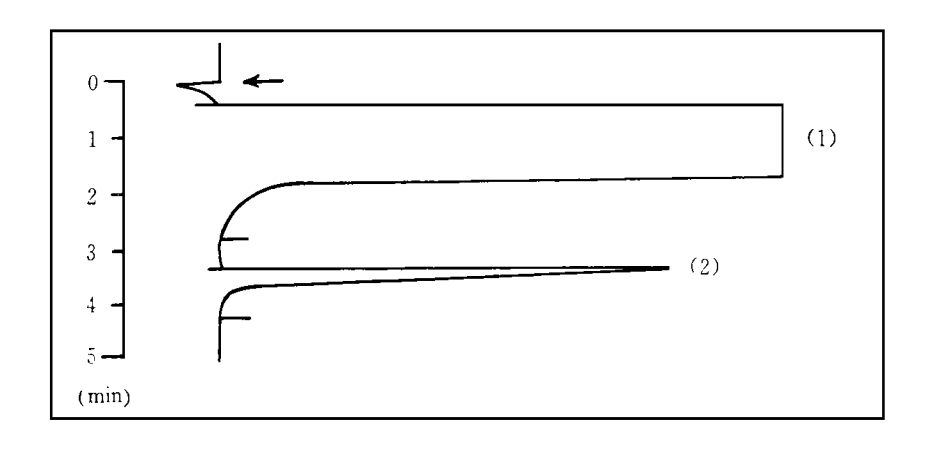


图2 N₂O 色谱图

色谱柱: 6 × 1/8, S S, Porapdk Q (80′100), CT = 40 ; 检测器: ECD(@Ni), DT = 330 ; 载气: Ar-5%CH₄, 30m L/min; 色谱峰: (1), RT = 0.99, 空气: (2), RT = 3.115, N₂O

3 结果与讨论

3.1 取样技术与分析方法的误差分析

取样与分析技术对于 N_{2O} 观测数据的代表性至关重要。美国 NOAA/CMDL 的 N_{2O} 和卤化碳(Halocarbons) 全球观测是采用0.3L 经 Summa 处理的不锈钢气瓶取样,并认为空气潮湿的样品存放3.5d 以上, N_{2O} 浓度变化明显。通过对 WLGS 站4L 不锈钢罐平行样及样品存放实验,发现样品存放3.3-3.5d, N_{2O} 浓度增加0.6%-1.5%。13 对平行样 N_{2O} 浓度的平均偏差为1.3%,另外,用气袋与不锈钢罐作对比观测,结果一般气袋浓度偏高,平均偏差为1.3%,约1.2%。

曾用两种填充柱(5A 和Porapak Q)分离 N_2O ,都有满意的结果,但因5A 柱 CT 高达220 ,操作不便,1993年后样品分析没有使用5A 柱。在 Porapak Q 柱所确定的操作条件下, CO_2 不干扰 N_2O 测定。冷阱(-50)除净化水外,对样品中的卤代烃(如 CFC_3)也可同时除去,这样即使不采用反吹气路,分析周期也从 10_{\min} 减少到 4_{\min} ,同时还有利于提高系统的稳定性。 N_2O 重复测量的精密度(CV)小于0.2%,与文献($Prinn(1990)^{[8]}$)中0.13% - 0.35%的精度相当。图3为仪器测量 N_2O 的线性,表明在0.1-5.0ppmv 内,峰面积与 N_2O 浓度有较好的线性关系, $R^2 = 0.997$ 。另外表1给出2台仪器对同一样品的分析结果,比较发现 HP 5890 的数据虽略偏高,但相对偏差小于0.7%。

仪器型号	分 析 条 件	分析日期	N_2O WLGS 014	ppbv WLGS 022
HP 5880A	P Q 柱2.7m, CT 55 ,Ar-5% CH ₄ : 30mL/min, DT 330 ,标气316ppb(in air),冷阱- 50 。	1995. 3. 7	320. 1 ± 1. 6	319. 8 ± 0. 1
HP 5890	P Q 柱1.8m, C T40 ,其他同 HP5880A。	1995. 3. 14	321. 3 ± 1. 4	321.9 ± 4.3

表1 用2台 GC(HP 5880A, HP 5890)分析 N₂O 结果的比较

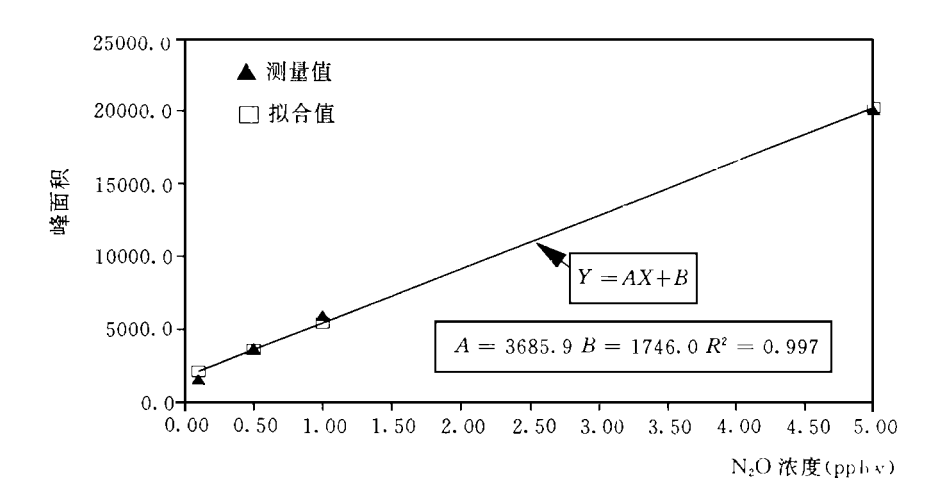


图3 用 GC-ECD 法测量 N₂O 浓度的线性曲线

3.2 部分清洁地区地面大气 N₂O 浓度的比较

表2为1993年4月—1995年8月部分地区地面 N2O 浓度的观测结果。

表2 中国部分地区地面大气 N₂O 浓度观测结果

W2 TEBRATECENT INTO MEMBERS								
观测站(点)	经 N	纬度 E	观测起始 日 期	取样方法	样品 数目	N ₂ O 浓度 变化范围	ppbv 平均值 ± σ	
农科院试验田 (北京)	39 18	116 23	1993. 4. 3- 5. 17	玻璃注射器 (100 _m L)	10	323. 5- 365. 4	343. 4 ± 13. 1	
农业生态试验站 (河北栾城)	37 53	116 41	1994. 7. 14– 8. 4	气袋 (1 _L)	113	292. 2- 382. 5	322. 1 ± 16. 9	
临安大气本底站 (浙江)	30 25	119 44	1994. 8. 15– 1995. 7. 26	气袋 (1 _L)	94	305. 3- 335. 6	318. 8 ± 8. 4	
临安大气本底站 (浙江)	30 25	119 44	1994. 10. 20– 1995. 7. 26	不锈钢罐 (6L)	17	301. 2- 316. 6	309.0 ± 4.6	
龙风山大气本底站 (黑龙江)	44 44	127 36	1994. 8. 17– 1995. 7. 31	气袋 (1L)	96	304. 1- 328. 6	317. 4 ± 4. 7	
龙风山大气本底站 (黑龙江)	44 44	127 36	1994. 10. 14– 1995. 7. 31	不锈钢罐 (6L)	17	303. 6- 320. 8	311. 0 ± 4. 5	
瓦里关大气本底站 (青海)	36 98	100 54	1994. 8. 18– 1995. 7. 31	气袋 (1L)	98	305. 4- 323. 3	314. 0 ± 4. 2	
瓦里关大气本底站 (青海)	36 98	100 54	1994. 10. 16– 1995. 7. 31	不锈钢罐 (6L)	16	306. 8- 318. 8	310. 8 ± 3.0	
瓦里关大气本底站 (青海)	36 98	100 54	1994. 9. 11- 1995. 8. 6	不锈钢罐 (4L)	30	311. 8- 332. 5	317. 6 ± 5. 2	

1993年4月3日—5月17日,在农科院小麦试验田进行了10d观测, N2O 浓度变化范围

323. 5—365. 4ppbv, 平均值为343. 4ppbv, 明显高于其它地区。与1992年姚荣奎等(1994) 在北京大学及其周围地区的测量结果344—362ppbv 接近。同样, 1994年7月14日—8月4日, 在河北栾城农业生态试验站玉米田进行的观测, 地面 N_2O 最高浓度达382. 5ppbv, 平均浓度为322. 1ppbv。以上结果表明农田是排放 N_2O 的重要来源(王少彬, 1994[13])。

在大气本底站进行的 N_2O 观测, 有 IL 气袋, 6L 气罐 D_4L 气罐 D_4L 气罐 D_4L 气袋 而言, 按季节分别在 D_4L 10月及 D_4L 1995年 D_4L 1月,4月和7月共进行了 D_4L 5次,每次是 D_4L 70 根,每天上午 D_4L 8: D_4L 30 各取一对样品,每次每个站可获得 D_4L 7 的一 D_4L 30 各取一对样品,每次每个站可获得 D_4L 4 是 D_4L 30 各取一对样品,每次每个站可获得 D_4L 4 是 D_4L 6 D_4L

另外, 6L 气罐(美国, 内壁镀金)的取样, 主要用于大气中非甲烷烃(NMHC)的观测, 同样是5d 取样, 但每天只取1罐样品, 分9:00, 12:00和17:00 3个时段, 因此与1L 气袋的取样不是完全同步进行的, 而且仅对1994年10月, 1995年4, 7月的样品作了测定, 3个站的平均浓度为 $309.0\pm4.6ppbv$, $311.0\pm4.5ppbv$ 和 $310.8\pm3.0ppbv$ 。同期用气袋取样的 N_2O 平均浓度分别为 $314.4\pm4.0ppbv$, $316.0\pm4.0ppbv$ 和 $312.3\pm3.3ppbv$ 。由此可见, 3个站气罐结果很接近, 临安和龙凤山偏差最大为1.1ppbv,而龙凤山和瓦里关山相差只有0.2ppbv。另外, 与同期气袋结果相比, 其结果明显偏低, 其中相差分别为4.5,5.0和1.5ppbv。到目前为止, 对造成上述差别的真正原因尚不完全清楚, 然而可能的因素有 N_2O 的日变化及样品存放中不同器壁对 N_2O 稳定性的影响。从美国 NNOA/CMDL 使用内表面经化学抛光处理的不锈钢罐取样可见, 不锈钢罐对 N_2O 取样更加适宜。本文之所以主要使用气袋的数据, 是考虑气袋资料多, 且更具连贯性。

从1994年9月—1995年8月, 在瓦里关山站用4L 国产内抛光(机械) 不锈钢罐进行的观测, 一般每半月取一对样品, 然而, 由于客观原因1995年2, 3月缺测, 其余10个月 N_2O 平均浓度为 319.6 ± 5.2 ppbv。可见, 此项观测结果明显偏高, 其原因与前面分析相似, 除取样时间不同外, 样品罐结构与材质是引起结果偏差的重要原因。

综上所述, 尽管目前进行的 N_{2O} 观测还有待规范, 两项观测结果有约2% 的差异, 然而上述结果总体上代表了中国清洁地区地面大气 N_{2O} 浓度的分布特征, 接近或略高于 WMO/GAW 网的观测结果。

3.3 地面大气 N_{2O} 浓度的变化

对流层 N_2O 浓度没有明显的季节变化,一般只是在夏末秋初出现低值,这种情况在 北半球更加明显(Branke, et al $(1990)^{[9]}$; Khalil, et al $(1983)^{[7]}$)。由于土壤微生物过程及 海洋的 N_2O 排放都是夏季出现峰值,对此,目前尚未有满意的解释。中国 3个本底站 1994—1995年的观测结果(图4),除临安8月份 N_2O 浓度异常偏高外,3个站4月份 N_2O 浓度均呈现低值,而且变化趋势非常相似。产生上述变化的主要原因可能是受周围农田土壤的 N_2O 排放影响,特别是临安地区农业发达,稻田大量追施氮肥,在晒田和收获季节,会形成 N_2O 排放峰值。龙风山地处林区受农田影响次之。小麦和玉米田地面的 N_2O 浓度日变化较大(图5和6),最大偏差高达约20—60ppby,这是由土壤 N_2O 排放率的日变化决定

的。

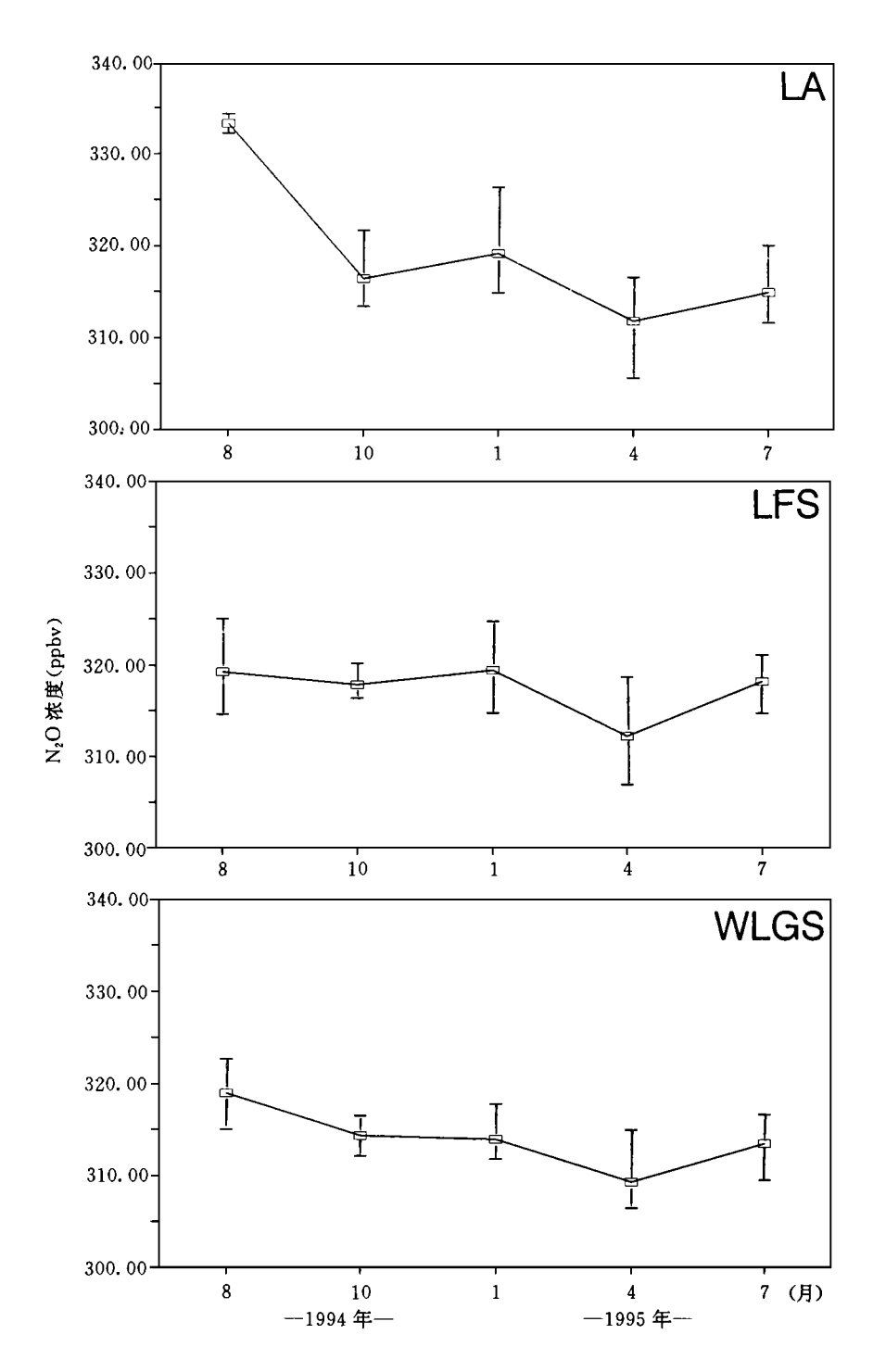
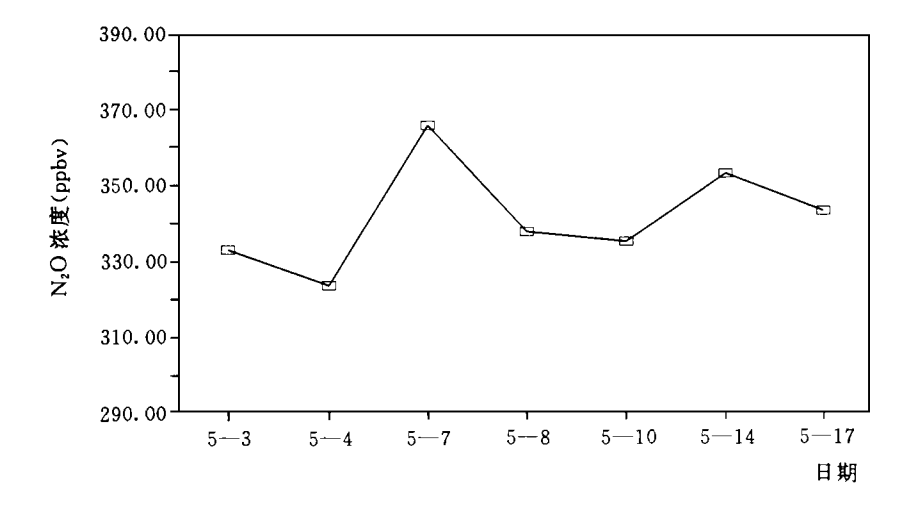


图4 1994年8月—1995年7月3个本底站大气 N₂O 浓度的季节变化



1993年京郊麦田大气 N₂O 浓度的日变化 图5

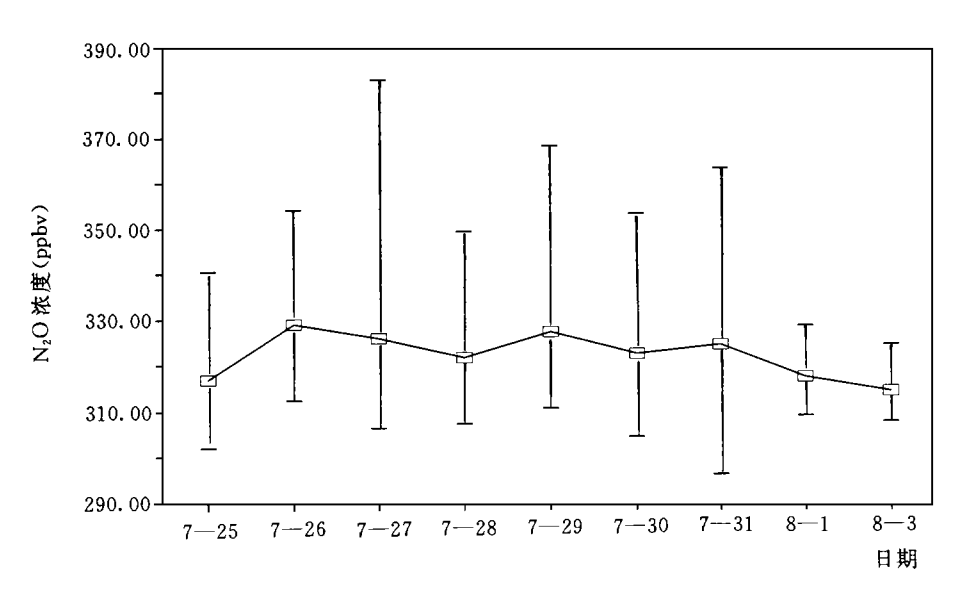


图6 1994年栾城玉米田大气 N₂O 浓度的日变化

致谢: 对徐小斌, 向荣彪, 颜鹏, 刘奇俊, 丁国安等同志, 帮助现场取样表示衷心的感谢。

参考文献

3期

- Gololmbek A and Prinn R G. A global threedimensional model of the circulation and chemistry of CFCl3, CF₂Cl₂, CH₃Cl, CCl₄ and N₂O. J Geophys Res, 1986, 91: 3985-4001.
- Crutzen p. The influence of nitrogen oxides on the atmospheric ozone content Quart J Roy Meteor Soc, 1970, 96: 320- 325.
- McElroy M and McConnell J. Nitrous oxide: A natural source of stratospheric NO. J Atmos Sci. 1971, 28: [3] 1095- 1098.
- Wang W, Yung Y, Lacis A, MoT and Hansen J. Greenhouse effects due to man-made perturbations of trace [4]

- gases. Science, 1976, 194: 685-690.
- [5] Dickinson R and Ciceronce R. Future global warming from atmospheric trace gases. Nature, 1986, 319: 109-
- [6] Weiss R. The temporal and spatial distribution of tropospheric nitrous oxide. J Geophys Res, 1981, 86: 7185
 7195.
- [7] Khalil M A K and Rasmussen R A. Increase and seasonal cycles in the atmospheric concentration of nitrous ox-ide(N₂O). 1983, Tellus, 35B: 161-169.
- [8] Prinn R, Cunnold D, et al. Atmospheric emissions and trends of nitrous oxide deduced from 10 years of ALE-GAGE data. J Geophys Res., 1990, 95(D11): 18369-18385.
- [9] Branke E G, Scheel H E and Seiler W. Trends of Tropospheric CO, N2O and CH4 as observed at Cape Point, South Africa. Atmos Environ, 1990, 24A (3): 585-595.
- [10] 姚荣奎, 邵可声等. 大气中 N₂O 的 GC-ECD 方法和环境浓度及来源. 环境化学, 1994, 13(1): 22-29.
- [11] Thijsse T. R. Gas chromatographic measurement of nitrous oxide and carbon dioxide in air using electron capture detection. Atmos Environ, 1978, 12: 2001–2003.
- [12] Weiss R. Determinations of carbon dioxide and methane dual catalyst flame ionization chromatography and nitrous oxide by electron capture chromatography. J Chromatographic Science, 1981, 19: 611-616.
- [13] 王少彬, 中国大气中氧化亚氮浓度及土壤排放通量的测定, 中国科学(B辑), 1994, 24(2): 1275-1280.

THE BACKGROUND LEVELS OF ATMO-SPHERIC NITROUS OXIDE(N2O) IN SOME REGIONS OF CHINA

Wang Mulin Cheng Hongbing Li Xingsheng Wen Yupu

(Chine & A cade my of Meteological Sciences, Be ij ing., 100081)

Abstract

In the obverservational result of the atmospheric N2O concentration in some unpolluted regions of China from May 1993 to July 1995, They show that the average mixing ratios of N2O over agricultural fieldes (maize and wheat) are from 322.1 to 343.4 ppbv (10-9 v/v). There are larger value and variation of mixing ratio of N2O due to emission of N2O from fertilized soils. The mean mixing ratios of N2O at Linan and Longfengshan Background Air Pollution Monitoring Station and Waliguanshan Global Atmosphere Watch Baseline Observatory (WMO/GAW) are 318.8 ± 8.4 ppbv, 317.4 ± 4.7 ppbv and 314.0 ± 4.2 ppbv, respectively. The distribution and variation of N2O were disscussed. Additionally, the sampling technique and measured method of mixing ratio of N2O were specially analysed and assessed.

Key words: Nitrous oxide(N2O), Background levels, Gas Chromatography.